

*Acta Cryst.* (1961). **14**, 1100

**Groupe d'espace du tungstate de cadmium, CdWO<sub>4</sub>.** Par JEAN COING-BOYAT, *Laboratoire d'Electrostatique et de Physique du Métal, Institut Fourier, Place du Doyen Gosse, Grenoble (Isère), France*

(Reçu le 20 avril 1961)

Le tungstate de cadmium, sous forme de poudre cristalline a été étudié aux rayons X (radiation  $K\alpha$  du fer), au moyen d'un diffractomètre 'Norelco', par Sharp (1960) qui a déterminé les dimensions de la maille monoclinique et proposé le groupe d'espace  $P2_1/c(C_{2h}^5)$ .

Les réflexions de type  $h0l$  n'existent que si  $l=2n$  ce qui conduit aux groupes possibles

$$P2_1/c(C_{2h}^5); P2/c(C_{2h}^4) \text{ et } Pc(C_s^2).$$

De plus, Sharp, n'ayant observé aucune raie  $(0k0)$  dont  $k$  soit impair, en a conclu au groupe  $P2_1/c$ .

Or, bien que faibles, les raies  $(010)$  et  $(030)$  existent:

Tableau 1. *Diagramme de poudre de CdWO<sub>4</sub>*  
(Co  $K\alpha_1$ ,  $\lambda=1,78892 \text{ \AA}$ )

$hkl$	$d_o$	$d_c$	$I_o$	$I_o$ (orient.)
010*	5,85 <sub>5</sub> Å	5,85 <sub>3</sub> Å	7	30
100	5,02 <sub>7</sub>	5,02 <sub>3</sub>	9	
011*	3,83 <sub>43</sub>	3,83 <sub>15</sub>	10	
110	3,80 <sub>66</sub>	3,81 <sub>15</sub>	33	
$\bar{1}11$	3,07 <sub>68</sub>	3,07 <sub>54</sub>	100	100
111	3,01 <sub>88</sub>	3,01 <sub>80</sub>	87	
020	2,92 <sub>75</sub>	2,92 <sub>64</sub>	26	120
021\}	2,53 <sub>39</sub>	2,53 <sub>44</sub>	59	
002f		2,53 <sub>39</sub>		
200	2,51 <sub>19</sub>	2,51 <sub>16</sub>	28	
210*	2,30 <sub>91</sub>	2,30 <sub>82</sub>	1	
$\bar{1}02^*$	2,28 <sub>68</sub>	2,28 <sub>63</sub>	4	
121	2,25 <sub>13</sub>	2,25 <sub>09</sub>	7	
$\bar{1}12^*$	2,12 <sub>96</sub>	2,12 <sub>96</sub>	6	
112*	2,09 <sub>02</sub>	2,09 <sub>14</sub>	8	
030*	1,95 <sub>05</sub>	1,95 <sub>10</sub>	2	9
022	1,91 <sub>59</sub>	1,91 <sub>56</sub>	22	
220	1,90 <sub>62</sub>	1,90 <sub>60</sub>	19	
130	1,81 <sub>86</sub>	1,81 <sub>87</sub>	24	
$\bar{2}02$	1,80 <sub>80</sub>	1,80 <sub>74</sub>	21	
$\bar{2}21$	1,79 <sub>62</sub>	1,79 <sub>57</sub>	14	
221	1,772 <sub>3</sub>	1,772 <sub>5</sub>	17	
202	1,761 <sub>0</sub>	1,761 <sub>1</sub>	16	
$\bar{1}31$	1,716 <sub>7</sub>	1,716 <sub>9</sub>	5	
131*	1,706 <sub>8</sub>	1,706 <sub>7</sub>	2	

\* Raies non signalées par Sharp.

Tableau 2. *Mailles des tungstates du type MgWO<sub>4</sub>*

	$a$	$b$	$c$	$\beta$	
MgWO <sub>4</sub>	4,69 Å	5,68 Å	4,92 Å	89° 40'	(Swanson)
FeWO <sub>4</sub>	4,70 kX.	5,69 kX.	4,93 kX.	90°	(Broch)
MnWO <sub>4</sub>	4,84 kX.	5,76 kX.	4,97 kX.	89° 07'	(Broch)
CdWO <sub>4</sub>	5,02 <sub>6</sub> Å	5,85 <sub>4</sub> Å	5,07 <sub>0</sub> Å	91° 29'	(d'après le présent travail)

*Acta Cryst.* (1961). **14**, 1100

**Comments on the structures of 1,2-dichloroethane and of N<sub>2</sub>O<sub>2</sub>.** By WILLIAM N. LIPSCOMB and FREDERICK E. WANG, *Department of Chemistry, Harvard University, Cambridge 38, Massachusetts* and WALTER R. MAY and E. L. LIPPERT, JR., *Department of Chemistry, Vanderbilt University, Nashville 5, Tennessee.*

(Received 27 March 1961)

The discovery of an error of 0.09 Å in the computation of the C-Cl distance from the final parameters (Reed & Lipscomb, 1953), has led to a least-squares refinement of

on peut les observer sur des clichés de chambre à focalisation et sur des diffractogrammes obtenus à la radiation  $K\alpha$  du cobalt (Tableau 1).

Ces raies sont visibles grâce au niveau très faible du fond continu que l'on obtient avec des appareils équipés de monochromateurs: chambre à focalisation type Guinier, diffractomètre C.G.R. (équipé d'un monochromateur modèle Guinier et d'un goniomètre modèle Berthold).

Autre facteur favorable: le tungstate de cadmium était très bien cristallisé; le début de sa préparation était identique à celle de Sharp, mais le précipité blanc, séché, a été ensuite chauffé jusqu'à 900 °C.

Des échantillons pour diffractométrie par réflexion, préparés avec un tel tungstate présentent très facilement un effet d'orientation: les micro-cristaux tendent à se placer de telle sorte que leurs plans réticulaires  $(0k0)$  soient parallèles au plan de l'échantillon; les raies  $(0k0)$  sont alors considérablement renforcées, et en particulier, les raies  $(010)$  et  $(030)$  ressortent très bien (Tableau 1). Ce phénomène met donc en relief les raies  $(0k0)$  dont  $k$  est impair, mais, même en l'absence de tout effet d'orientation, la raie  $(010)$  est bien visible.

Le groupe  $P2_1/c$  étant ainsi exclu, le groupe d'espace de CdWO<sub>4</sub> est soit  $P2/c$ , soit  $Pc$ .

$P2/c(C_{2h}^4)$  est le groupe le plus probable car c'est justement celui auquel appartient, suivant Broch (1929), les autres tungstates de métaux divalents dont les dimensions de mailles peuvent être comparées à celles du tungstate de Cadmium (Tableau 2). CdWO<sub>4</sub> est donc très probablement isotype de ces autres tungstates.

Je remercie, pour ses conseils, Monsieur Bertaut, Directeur de Recherches au C.N.R.S.

### Références

- BROCH, E. K. (1929). *Skr. norske Vidensk. Akad. Math. Nat. Klasse*, **8**, 26.  
SHARP, W. E. (1960). *Z. Kristallogr.* **114**, 151.  
SWANSON, E. & TATGE, E. (1953). *N.B.S. Circular* **539**, **1**, 84.

the published data for the structure of 1,2-dichloroethane at -140 °C., and to the revised parameters,

$x_{C1} = 0.318 \pm 0.001$ ,  $y_{C1} = 0.278 \pm 0.001$ ,  $z_{C1} = 0.084 \pm 0.001$ ,  
 $x_C = 0.099 \pm 0.003$ ,  $y_C = 0.003 \pm 0.005$ ,  $z_C = 0.094 \pm 0.002$ ,

which are substantially unchanged from those previously reported (Reed & Lipscomb, 1953) except for the  $y$  and  $z$  parameters of the C atoms. Agreement factors of

$$\frac{\Sigma |F_o^2 - F_c^2|}{\Sigma F_o^2} = 0.17 \quad \text{and} \\ \frac{[\Sigma w(F_o^2 - F_c^2)^2]^{\frac{1}{2}}}{[\Sigma w F_o^4]^{\frac{1}{2}}} = 0.11$$

were obtained for all observed data, for our usual choice (Lavine & Lipscomb, 1954) of weights,  $w$ . The revised bond distances are C-Cl =  $1.80 \pm 0.02$ , C-C =  $1.55 \pm 0.03$  and Cl...Cl =  $4.22 \pm 0.01$  Å. These values from the solid

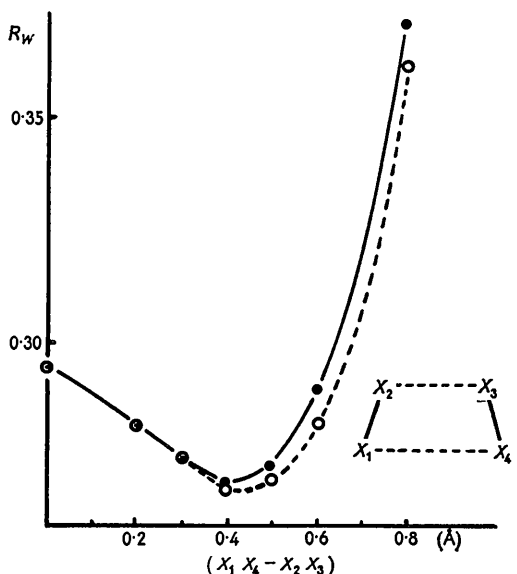


Fig. 1. Values of  $R_w = \Sigma w(F_o^2 - F_c^2)^2 / \Sigma w F_o^4$  for  $N_2O_2$  disordered by a statistical center of symmetry<sup>2</sup>. The average of  $X_1X_2$  and  $X_3X_4$  is  $1.12 \pm 0.02$  Å, while the average of  $X_2 \cdots X_3$  and  $X_1 \cdots X_4$  is  $2.40 \pm 0.01$  Å. The dotted line shows refinements for various  $X_1X_2 - X_3X_4$  in which the shorter distance  $X_2 \cdots X_3$  between NO groups is an N...N distance, while the solid curve indicates results for which an average scattering factor for N and O is employed for all atoms.

*Acta Cryst.* (1961). **14**, 1101

**Three thiourea complexes: A preliminary X-ray study.** By M. PÉREZ RODRIGUEZ, M. CUBERO, R. VEGA, A. MORENTE and J. CASAS VAZQUEZ, *División de Ciencias Matemáticas, Médicas y de la Naturaleza, Universidad de Sevilla, Spain*

(Received 24 April 1961)

A preliminary stage has been completed in the crystal structure determination of the following complexes:

(a)  $Zn(NO_3)_2 \cdot Tu_4$ , (b)  $HgCl_2 \cdot Tu_3$ , (c)  $Ni(NO_3)_2 \cdot Tu_6$ .

The last two have been obtained for the first time in our laboratory.

The dimensions of the unit cells are:

(a)  $a = 22.53 \pm 0.06$ ,  $b = 9.43 \pm 0.02$ ,  $c = 8.90 \pm 0.03$  Å  
 (space group  $D_{2h}^{10}$ ).

phase are not in very good agreement with the values of C-Cl =  $1.78 \pm 0.01$  and C-C =  $1.49 \pm 0.03$  and Cl...Cl =  $4.31 \pm 0.02$  Å obtained in an electron diffraction study (Ainsworth & Karle, 1952) of the gas, which contains about 27% of gauche molecules in addition to the trans-form to which these dimensions apply.

A reinvestigation of the  $N_2O_2$  structure (Dulmage, Meyers & Lipscomb, 1953) has now led to definite conclusions concerning the molecular structure in the statistically disordered solid phase. A series of least-squares refinements with the assumption of isotropic temperature factors has been carried out for a set of models each of which averages to the statistical model previously described, and known with high precision. The results (Fig. 1) clearly favor the planar equilateral trapezoidal model, as compared with the rectangular model, and further suggest that the two NO groups are joined by an N...N bond about 2.18 Å in length. Estimates of errors of about  $\pm 0.03$  Å for this distance and the corresponding O...O distance of 2.62 Å are tied to the assumption of isotropic temperature factors, but the introduction of anisotropic temperature factors (which gave a singular matrix in our attempts to refine the structure) would probably require much larger estimates of these errors.

The origin of each of Figs. 1-6 of the  $N_2O_2$  paper should be placed at the center of the figure rather than at the corner in order to agree with our atomic coordinates and the centrosymmetric equivalent positions  $x, y, z$ ;  $\bar{x}, \bar{y}, \bar{z}$ ;  $\frac{1}{2} - x, \frac{1}{2} + y, \bar{z}$ ;  $\frac{1}{2} + x, \frac{1}{2} - y, z$  in  $P2_1/a$ . Also, in Fig. 2 the pair of numbers 0.621 and 0.601 should be interchanged, as should the pair 0.399 and 0.379.

We wish to thank Dr R. Dean Dragsdorf, who raised a question leading to our discovery of these mislabellings, for reading the  $N_2O_2$  paper.

#### References

- AINSWORTH, J. & KARLE, J. (1952). *J. Chem. Phys.* **20**, 425.  
 DULMAGE, W. J., MEYERS, E. A. & LIPSCOMB, W. N. (1953). *Acta Cryst.* **6**, 760.  
 LAVINE, L. R. & LIPSCOMB, W. N. (1954). *J. Chem. Phys.* **22**, 614.  
 REED, T. B. & LIPSCOMB, W. N. (1953). *Acta Cryst.* **6**, 45.

$N = 4$  (calculated 4.05) for the number of formula units within the unit cell.

(b)  $a = 8.65 \pm 0.03$ ,  $b = 19.72 \pm 0.02$ ,  $c = 8.07 \pm 0.02$  Å  
 (space group  $C_{2h}^5$ );  
 $\beta = 91.6 \pm 0.2^\circ$ .

$N = 4$  (calculated 3.96).

(c)  $a = 25.43 \pm 0.03$ ,  $b = 9.22 \pm 0.03$ ,  $c = 17.38 \pm 0.02$  Å;  
 $\beta = 140.2 \pm 0.1^\circ$ .

The possible space group being  $C_{2h}^6$  and  $C_s^4$ .  $N = 4$  (calculated 3.96).